

УТВЕРЖДАЮ

Руководитель предприятия
п/я Г-2745

С.И.Косых

27.10 1988 г.

Руководящий документ

Осесимметричные элементы корпусов
трубопроводной арматуры.
Методические указания по расчету
температурных напряжений

РДМУ 26-07-270-88

Вводится впервые

Дата введения 01.01.89

Настоящий руководящий документ распространяется на корпуса трубопроводной арматуры, работающей в условиях температурных воздействии и устанавливает методики расчета температурных напряжений в осесимметричных элементах корпуса, представляющих собой цилиндрические и сферические тонкостенные оболочки, кольцевые пластины и узкие кольца прямоугольного сечения, и узлах сопряжения указанных элементов.

I. Общие положения

I.1. Для расчета температурных напряжений осесимметричных элементов и узлов корпуса трубопроводной арматуры используются основные положения и методы квазистатической задачи термоупругости тонких оболочек вращения, пластин и стержней. При нестационарных тепловых режимах время играет роль параметра.

I.2. Рассматриваются цилиндрические и сферические тонкостенные оболочки вращения, кольцевые пластины, узкие кольца прямоугольного сечения и узлы сопряжения указанных элементов.

I.2.1. Формулы справедливы при оледующих условиях с погрешностью порядка 10%:

- для оболочек вращения

$$\frac{S}{z} \leq 0.1 ;$$

- для пластин

$$0.5 < \frac{r^*}{z_n - z_b} \leq 1.2 \quad ; \quad z_b \leq 1.4 z_n ;$$

- для колец

$$\frac{S_m}{z} \leq 0.2 -$$

Указанные пределы могут быть расширены, что приводит к снижению точности расчета.

I.3. Температурная нагрузка - осесимметричное температурное поле расчетного элемента.

I.4. Исходными данными для расчета являются:

- геометрические размеры;
- физические и механические характеристики материала корпуса;
- температурная нагрузка расчетного элемента.

2. Методика расчета температурных напряжений в отдельных осесимметричных элементах корпуса

2.1. Температурные нагрузки при расчете отдельных осесимметричных элементов корпуса выбраны следующие:

- для оболочек вращения - изменение температуры по толщине оболочки;

- для пластин и колец - изменение температуры по радиусу элемента.

2.2. Температурные напряжения в цилиндрической и сферической оболочках определяются вдали от края на наружной и внутренней поверхности оболочки, для колец и пластин температурные напряжения определяются на наружном или внутреннем крае элемента.

2.3. Для цилиндрической и сферической оболочек температурные напряжения на наружной и внутренней поверхности равны:

$$\sigma_{SH} = \sigma_{\theta H} = \frac{E \nu}{(1-\nu)} (T_S - T_H) , \quad (1)$$

$$\sigma_{SB} = \sigma_{\theta B} = \frac{E \alpha T}{(1-\nu)} (T_S - T_B) .$$

2.4. Температурные напряжения на наружном или внутреннем крае кольцевой пластины равны:

$$\sigma_z = \sigma_{\theta} = \frac{E \alpha T}{(1-\nu)} (T_S - T_{\text{пл}}) . \quad (2)$$

2.5. Температурные напряжения на наружном или внутреннем крае кольца с радиусом r равны:

$$\sigma_{\theta} = \frac{E \alpha T}{2r} (r_H + r_B) (T_S - T_K) . \quad (3)$$

2.6. Алгоритм, форма расчета и пример расчета приведены в приложении 2, таблица 2.

3. Методика расчета температурных напряжений в узлах сопряжения

3.1. **Температурные напряжения** определяются для наиболее распространенных в корпусе арматуры сочетаний **осесимметричных** элементов: двух цилиндрических оболочек различной **толщины**, цилиндрической и сферической оболочек, цилиндрической оболочки о пластиной или кольцом.

Расчетные схемы узлов сопряжения **осесимметричных** элементов корпуса представлены на **рис.1-4**.

3.2. В качестве температурных нагрузок при **расчете** узлов сопряжения выбрана **разность** средних температур сопрягаемых элементов.

3.2.1. В качестве средней температуры **расчетного** элемента выбирается **среднеинтегральная** температура по толщине оболочки или по площади поперечного сечения кольца, пластины.

3.3. Расчет температурных напряжений в узлах сопряжений при наличии разности средних **температур** осесимметричных элементов корпуса **выполняется** в месте стыка сопрягаемых элементов по формулам, представленным в таблице 1.

3.4» Алгоритм, форма и пример расчета приведены в приложении 2, **таблица 3**.

3.5. Температурные напряжения в узлах сопряжения от **действия** различных видов нагрузок определяются как сумма напряжений по **методике** раздела 2 и п.3.3.

Расчетные схемы узлов сопряжения
оосимметричных элементов корпуса

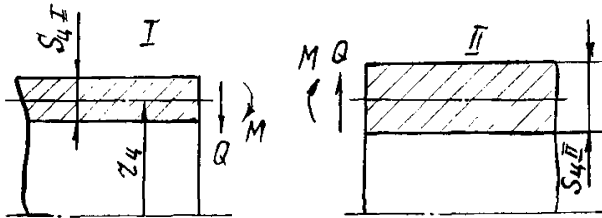


Рис.1. Узел сопряжения двух цилиндрических оболочек

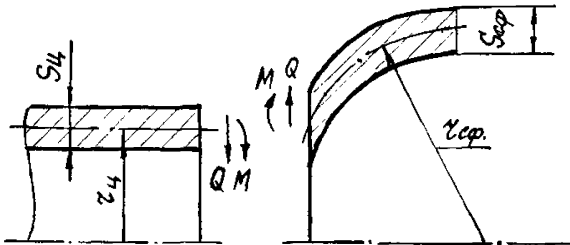


Рис.2. Узел сопряжения цилиндрической и сферической оболочек

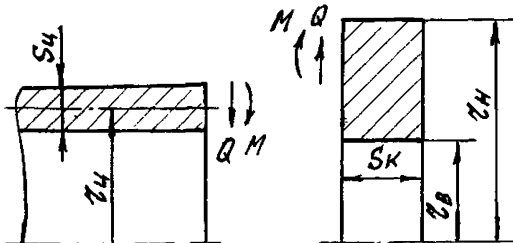


Рис.3. Узел сопряжения цилиндрической оболочки с кольцом

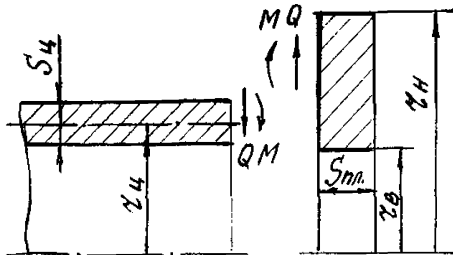


Рис.4 Узел сопряжения цилиндрической оболочки с пластиной

Таблица I

Температурные напряжения в узлах сопряжения двух осесимметричных элементов корпуса

№	Расчетная схема	Исходные данные по температурным нагрузкам	Крайевые усилия и моменты	Температурные напряжения		Примечание
				Элемент I	Элемент II	
I	Узел сопряжения двух цилиндрических оболочек различной толщины (Рис.1)	$(T_s)_{ц1}, (T_s)_{ц2};$ $\Delta T_{ц} = (T_s)_{ц1} - (T_s)_{ц2}$	$M_{ц} = -0.303 \frac{E \alpha_r \Delta T_{ц} (1+H)^2 S^2}{G_{ц}}$ $Q_{ц} = \frac{E \alpha_r \Delta T_{ц} (1+H^2 \sqrt{H}) S \sqrt{S}}{1.285 \sqrt{z_{ц}} G_{ц}}$	$\sigma_M = \frac{6 M_{ц}}{S^2}$ $\sigma_q = \frac{2.57 \sqrt{z_{ц}} Q_{ц}}{S \sqrt{S}}$ $\sigma_{SH} = \sigma_M,$ $\sigma_{\theta H} = \sigma_q - 0.25 \sigma_M,$ $\sigma_{SB} = -\sigma_M,$ $\sigma_{\theta B} = \sigma_q - 0.85 \sigma_M$	$\sigma_M = \frac{6 M_{ц} H^2}{S^2}$ $\sigma_q = \frac{2.57 H \sqrt{H} \sqrt{z_{ц}} Q_{ц}}{S \sqrt{S}}$ $\sigma_{SH} = \sigma_M,$ $\sigma_{\theta H} = \sigma_q - 0.25 \sigma_M,$ $\sigma_{SB} = -\sigma_M,$ $\sigma_{\theta B} = \sigma_q - 0.85 \sigma_M.$	$S = S_{ц1}$ $H = \frac{S_{ц1}}{S_{ц2}}$ $G_{ц} = 1 + H^4 + 2H^2 + 2H\sqrt{H} + 2H^2\sqrt{H}$
2	Узел сопряжения цилиндрической оболочки со сферической (рис.2)	$(T_s)_{ц}, (T_s)_{сф};$ $\Delta T_{сф} = (T_s)_{ц} - (T_s)_{сф}$	$M_{сф} = -0.303 \frac{E \alpha_r \Delta T_{сф} (1+H^2)^2 S^2}{G_{сф}}$ $Q_{сф} = \frac{E \alpha_r \Delta T_{сф} (1+H\sqrt{H})^2 \sqrt{z_{сф}}}{1.285 \sqrt{z_{сф}} G_{сф}} S \sqrt{S}$	$\sigma_M = \frac{6 M_{сф}}{S^2}$ $\sigma_q = \frac{2.57 \sqrt{z_{сф}} Q_{сф}}{S \sqrt{S}}$ $\sigma_{SH} = \sigma_M,$ $\sigma_{\theta H} = \sigma_q - 0.25 \sigma_M,$ $\sigma_{SB} = -\sigma_M,$ $\sigma_{\theta B} = \sigma_q - 0.85 \sigma_M.$	$\sigma_M = \frac{6 M_{сф} H^2}{S^2}$ $\sigma_q = \frac{2.57 H \sqrt{H} \sqrt{z_{сф}} Q_{сф}}{S \sqrt{S}}$ $\sigma_{SH} = \sigma_M,$ $\sigma_{\theta H} = \sigma_q - 0.25 \sigma_M,$ $\sigma_{SB} = -\sigma_M,$ $\sigma_{\theta B} = \sigma_q - 0.85 \sigma_M.$	$S = S_{ц},$ $H = \frac{S_{ц}}{S_{сф}};$ $G_{сф} = 1 + H^4 + 2H^2 + 2H\sqrt{H} \frac{z_{сф}}{z_{ц}} + 2H^2\sqrt{H} \sqrt{z_{сф}} \frac{z_{сф}}{z_{ц}}$

Продолжение табл. I

№ п. п.	Расчетная схема	Исходные данные по температурным нагрузкам	Крайевые усилия	Температурные напряжения		Примечание
				Элемент I	Элемент II	
3	Узел сопряжения цилиндрической оболочки с кольцом (Рис. 3)	$(T_s)_y, (T_s)_k$; $\Delta T_k = (T_s)_y - (T_s)_k$	$M_k = \frac{S^2 E \alpha \Delta T_k (3W_k - 1.652)}{6 G_k}$; $Q_k = \frac{E \alpha \Delta T_k S}{G_k} (0.708 \sqrt{\frac{S}{z_y}} + W_k H)$	$\sigma_M = \frac{6M_k}{S^2}$; $\sigma_y = \frac{2.57 Q_k \sqrt{z_y}}{S \sqrt{S}}$; $\sigma_{SH} = \sigma_M$; $\sigma_{\theta H} = \sigma_y - 0.25 \sigma_M$; $\sigma_{\theta B} = -\sigma_M$; $\sigma_{\theta B} = \sigma_y - 0.85 \sigma_M$	$\sigma_{\theta} = \frac{(1-R)}{R} \chi_k^2 \left(\frac{Q_k}{S_k} + \frac{6M_k}{S_k^2} \right)$; $\sigma_{SH} = \sigma_M$; $\sigma_{\theta H} = \sigma_y - 0.25 \sigma_M$; $\sigma_{\theta B} = -\sigma_M$; $\sigma_{\theta B} = \sigma_y - 0.85 \sigma_M$	$S = S_y, H = \frac{S_y}{S_k}$; $R = \frac{z_B}{z_H}, \chi_k = \frac{(1+R)}{(1-R)}$; $W_k = \chi_k H^2$; $G_k = 0.91 + W_k^2 + W_k \left(\frac{2.832 \sqrt{S_y}}{H} \sqrt{\frac{S_y}{z_y}} + 3.304 + 2.57 H \sqrt{\frac{z_y}{S_y}} \right)$; $H = \frac{S_y}{S_m}, R = \frac{z_B}{z_H}$; $\chi_m = \frac{1.3 + 0.7 R^2}{(1-R)}$; $W_m = \chi_m H^2$; $G_m = 0.91 + W_m^2 + W_m \left(\frac{0.708 \sqrt{S_y}}{H} \sqrt{\frac{z_y}{z_y}} + 2.57 H \sqrt{\frac{z_y}{S_y}} \right)$
4	Узел сопряжения цилиндрической оболочки с пластиной (Рис. 4)	$(T_s)_y, (T_s)_m$; $\Delta T_m = (T_s)_y - (T_s)_m$	$M_m = -1.652 \frac{E \alpha \Delta T_m S_y^2}{6 G_m}$; $Q_m = \frac{E \alpha \Delta T_m S_y}{G_m} (0.708 \sqrt{\frac{S_y}{z_y}} + W_m H)$	$\sigma_M = \frac{6M_m}{S_y^2}$; $\sigma_y = \frac{2.57 Q_m \sqrt{z_y}}{S_y \sqrt{S_y}}$; $\sigma_{SH} = \sigma_M$; $\sigma_{\theta H} = \sigma_y - 0.25 \sigma_M$; $\sigma_{\theta B} = -\sigma_M$; $\sigma_{\theta B} = \sigma_y - 0.85 \sigma_M$	$\sigma_{\theta} = \frac{(1+R^2)}{(1-R^2)} \left(\frac{Q_m}{S_m} + \frac{6M_m}{S_m^2} \right)$; $\sigma_{SH} = \sigma_M$; $\sigma_{\theta H} = \sigma_y - 0.25 \sigma_M$; $\sigma_{\theta B} = -\sigma_M$; $\sigma_{\theta B} = \sigma_y - 0.85 \sigma_M$	$H = \frac{S_y}{S_m}, R = \frac{z_B}{z_H}$; $\chi_m = \frac{1.3 + 0.7 R^2}{(1-R)}$; $W_m = \chi_m H^2$; $G_m = 0.91 + W_m^2 + W_m \left(\frac{0.708 \sqrt{S_y}}{H} \sqrt{\frac{z_y}{z_y}} + 2.57 H \sqrt{\frac{z_y}{S_y}} \right)$

РИМ 26-07-270

—88

С.7

4. Упрощенная методика расчета температурных напряжений для предельных тепловых режимов работы корпуса (квазистационарных режимов и термоударов)

4.1. С целью сокращения времени проведения прочностных расчетов при оценке температурных напряжений в корпусе арматуры предлагается упрощенная методика расчета модельного узла корпуса арматуры на температурные воздействия для двух предельных тепловых режимов.

4.1. Модельный узел корпуса арматуры представляет собой узел сопряжения двух полубесконечных тонкостенных цилиндрических оболочек различной толщины.

- 4.2. Предельными тепловыми режимами работы арматуры являются:
- а) квазистационарные режимы;
 - б) термоудары.

4.3. Температурные напряжения определяются вдали от зоны сопряжения расчетных элементов и в зоне сопряжения расчетных элементов.

4.4. Упрощенная методика расчета температурных напряжений при квазистационарных режимах работы арматуры.

4.4.1. Исходными данными для расчета являются:

- тепловые параметры режима;
- геометрические размеры;
- физические и механические характеристики материала корпуса.

Коэффициент температуропроводности определяется по справочнику /6/ или по формуле $\alpha = \frac{\lambda}{\rho c}$, в которой входящие величины находятся по теплофизическим справочникам.

4.4.2. Если тепловые параметры режима удовлетворяют условию

$$F_{0x} \gg 3, \quad (4)$$

где $F_{0x} = \frac{\alpha (T_{\text{ср}} - T_0)}{\sqrt{t} S^2}$ - предельное число Фурье

для квазистационарных режимов, выполняется упрощенный расчет темпе-

ратурных напряжений.

4.4.3. Расчет температурных напряжений не производится, если

$$\sigma_v < \sigma_{\text{учл}}$$

где
$$\sigma_v = \frac{E \alpha_T V T S^2}{3 \alpha (1-\nu)} \quad (5)$$

4.4.3.1. В качестве $\sigma_{\text{учл}}$ может быть выбрано значение напряжения составляющего 5-10% от предела текучести

4.4.4. Температурные напряжения вдали от зоны сопряжения расчетных элементов определяются по формулам:

$$\sigma_{\text{ТЕМП}} = \begin{cases} \sigma_{\text{SH}} = \sigma_{\text{OH}} = 0,5 \sigma_v, \\ \sigma_{\text{SB}} = \sigma_{\text{OB}} = - \sigma_v. \end{cases} \quad (6)$$

4.4.5. Температурные напряжения в зоне сопряжения расчетных элементов определяются по формулам:

$$\sigma_{\text{ТЕМП}} = \begin{cases} \sigma_{\text{SH}} = \sigma_v (0,5 + 2,1 f_{\text{SH}}), \\ \sigma_{\text{OH}} = \sigma_v (0,5 + 2,1 f_{\text{OH}}), \\ \sigma_{\text{SB}} = \sigma_v (-1,0 + 2,1 f_{\text{SB}}), \\ \sigma_{\text{OB}} = \sigma_v (-1,0 + 2,1 f_{\text{OB}}). \end{cases} \quad (7)$$

4.4.5.1. Коэффициенты f_{SH} , f_{OH} , f_{SB} , f_{OB} , зависящие от соотношения толщин сопрягаемых элементов, находят по графику на рис.5.

4.5. Упрощенная методика расчета температурных напряжений при термоударах.

4.5.1. Исходными данными для расчета являются:

- начальная и конечная температуры рабочей среды;
- физические и механические характеристики материала корпуса.

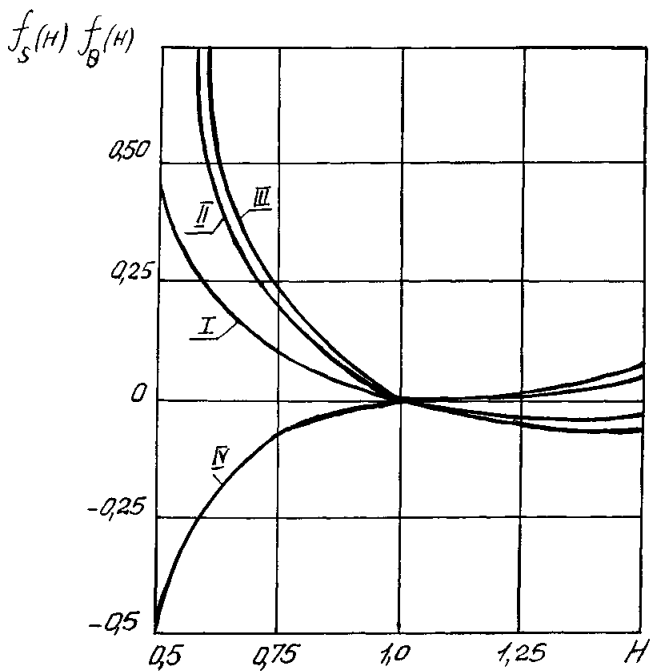


Рис.5. Коэффициенты в модельном узле
корпуса арматуры

- I - f_{S_H} на наружной поверхности оболочки;
 II - f_{B_H} на наружной поверхности оболочки;
 III - f_{S_B} на внутренней поверхности оболочки;
 IV - f_{B_B} на внутренней поверхности оболочки.

4.5.2. Расчет температурных напряжений вдали от зоны сопряжения и в самой зоне сопряжения расчетных элементов выполняется в момент времени близкой к начальному, когда температурная нагрузка максимальна, по следующим формулам:

$$\sigma_{\text{ТЕМП}} = \begin{cases} \sigma_{SH} = \sigma_{\theta H} = \frac{0,112 E \alpha_T (T_{cp} - T_0)}{(1-\nu)} , \\ \sigma_{SB} = \sigma_{\theta B} = - \frac{0,887 E \alpha_T (T_{cp} - T_0)}{(1-\nu)} \end{cases} \quad (10)$$

4.6. Алгоритм, форма и пример расчета приведены в приложении 2, таблица 4.

Главный инженер
предприятия п/я А-7899

М.И.Власов

Заместитель руководителя

В.А.Айриев

Начальник отдела I6I

Р.И.Хасанов

Начальник отдела II8

Р.А.Азарашвили

Руководитель темы,
ответственный исполнитель

О.П.Котельникова

Условные обозначения

- α - коэффициент температуропроводности, $\frac{2}{\text{сек}}$;
 E - модуль упругости материала расчетного элемента, шпа ;
 $f_{SH}, f_{\Theta H}, f_{SB}, f_{\Theta B}$ - коэффициенты на рис.5;
 $F_{0ж}$ - предельные значения числа Фурье для квазистационарных режимов;
 M, O - краевые усилия и моменты;
 $r_{y,cp}$ - радиус срединной поверхности оболочки, мм;
 r_{ZH}, r_{ZB} - наружный и внутренний радиусы кольца или пластины;
 r_K - наружный или внутренний радиус кольца, мм;
 δ - толщина оболочки, мм;
 $S_K, \delta_{пл}$ - толщина кольца или пластины, мм;
 T_0 - начальная температура рабочей среды, $^{\circ}\text{C}$;
 T_{cp} - конечная температура рабочей среды, $^{\circ}\text{C}$;
 T_s - средняя температура расчетного элемента, $^{\circ}\text{C}$;
 T_H - температура на наружной поверхности оболочки, $^{\circ}\text{C}$;
 T_a - температура на внутренней поверхности оболочки, $^{\circ}\text{C}$;
 T_K - температура на наружном или внутреннем крае кольца с радиусом r , $^{\circ}\text{C}$;
 $T_{пл}$ - температура на наружном или внутреннем крае пластины, $^{\circ}\text{C}$;
 ν_f - скорость изменения температуры рабочей среды, $^{\circ}\text{C}/\text{сек}$;
 α_t - коэффициент линейного расширения материала, $1/^{\circ}\text{C}$;
 ν - коэффициент Пуассона;
 σ_{TEMP} - температурные напряжения расчетного элемента, МПа;
 условное минимальное значение температурного напряжения, шпа ;
 σ_{SH}, σ_{SB} - меридиональные температурные напряжения на наружной и внутренней поверхности оболочки, МПа;

- $\sigma_{\theta\theta}, \sigma_{\theta z}$ - кольцевые температурные напряжения на наружной и внутренней поверхности оболочки, МПа;
- σ_{θ} - кольцевые температурные напряжения, МПа;
- σ_r - радиальные температурные напряжения, МПа;
- σ_v - температурные напряжения при квазистационарном режиме, МПа;
- λ - коэффициент теплопроводности, Вт/м °С;
- c - удельная теплоемкость, кДж/кг °С;
- ρ - плотность, кг/м³.

Расчет температурных напряжений в отдельных осесимметричных элементах и узлах сопряжения корпуса трубопроводной арматуры

1. Задача расчета.

Задачей расчета является определение следующих температурных напряжений в осесимметричных элементах и узлах корпуса:

σ_{SH} σ_{SB} - меридиональные температурные напряжения на наружной и внутренней поверхности оболочек;

$\sigma_{\theta H}$ $\sigma_{\theta B}$ - кольцевые температурные напряжения на наружной и внутренней поверхности оболочек;

σ_r - радиальные напряжения в пластине;

σ_{θ} - кольцевые напряжения в пластине или кольце.

Индексы ψ , φ , A , m относятся соответственно к цилиндрической, сферической оболочке, кольцу и пластине.

2. Исходные данные:

S, z, z_H, z_B - геометрические размеры (см. рис. 1-4);

E, α, ν - модуль упругости, коэффициент линейного расширения, коэффициент Пуассона;

T_H, T_B - температуры на наружной и внутренней поверхности оболочки

T_S - средняя температура расчетного элемента;

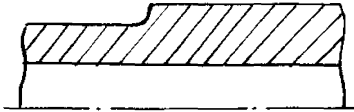
T_K, T_m - температура в расчетной точке кольца или пластины.

3. Расчет температурных напряжений в корпусе арматуры выполнен по методике РДМУ 26-07-270 -88.

4. Расчет выполнен для распространенных узлов корпуса арматуры (рис. 6).

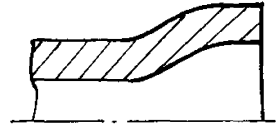
5. Алгоритм расчета, форма и пример расчета приведены на таблицах 2, 3, 4.

Узел I



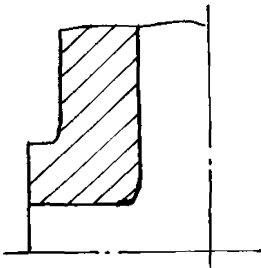
Расчетная схема
п.2.3. и табл. I п.п.1 (Рис.1)

Узел II



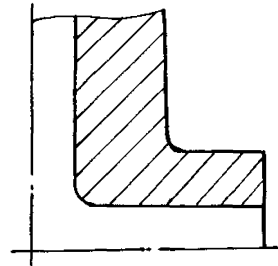
Расчетная схема
п.2.3. и табл. I
п.п.2 (рис.2)

Узел III



Расчетная схема
п.2.4. и табл. I п.п.3
(Рис.3)

Узел IV



Расчетная схема
п.2.5. и табл. I п.п.4
(Рис.4)

Рис.6. Расчетные узлы корпуса трубопроводной арматуры.

Отдельные осесимметричные элементы корпуса арматуры

Таблица 2

Расчетные величины и формулы		
<u>Исходные данные</u>		
	Материал	12Х18Н10Т
См. п. 1.4.	E , МПа	$1,97 \cdot 10^5$
	α_T , $1/^\circ\text{C}$	$1,77 \cdot 10^{-5}$
	ν , $^\circ\text{C}$	0,3
	T_H , $^\circ\text{C}$	20
	T_A , $^\circ\text{C}$	300
См. п. 2.3.	$(T_S)_y$, $^\circ\text{C}$	100
	$(T_S)_K$, $^\circ\text{C}$	60
	$(T_S)_m$, $^\circ\text{C}$	80
	T_K , $^\circ\text{C}$	300
	$T_{пл}$, мм	300
См. рис 1-4	z_H , мм	140
	z_B , мм	90
	z_K , мм	90
	$K = \frac{E \alpha_T}{(1-\nu)}$, МПа/ $^\circ\text{C}$	4,981
<u>Цилиндрическая и сферическая оболочка</u>		
	$\sigma_{SH} = \sigma_{\theta H} = K (T_S - T_H)$, МПа	398
	$\sigma_{SB} = \sigma_{\theta B} = K (T_S - T_A)$, МПа	-996
<u>Пластина</u>		
	$\sigma_{\theta} = \sigma_z = K (T_S - T_m)$, МПа	-1096
<u>Кольцо</u>		
	$\sigma_{\theta} = E \alpha_T \frac{(z_H + z_B)}{2 z_K} (T_S - T_K)$, МПа	-1069

Узлы сопряжения, состоящие из двух элементов корпуса арматуры

Таблица 3

Расчетные величины и формулы		
Узел I (см. рис.6)		
<u>Узел сопряжения двух цилиндрических оболочек различной толщины</u> (см. рис. I)		
<u>Исходные данные</u>		
О.п.1.4.	Материал	12Х18Н10Т
	E _____, МПа	$1,97 \cdot 10^5$
См. п.3.3	α_T _____, $1/^\circ\text{C}$	$1,77 \cdot 10^{-5}$
	z _____, мм	100
См. п.3.3	S_{4I} _____, мм	20
	S_{4II} _____, мм	30
См. п.3.3	$(T_s)_{4I}$ _____, $^\circ\text{C}$	100
	$(T_s)_{4II}$ _____, $^\circ\text{C}$	80
<u>Вспомогательные величины</u>		
	$H = \frac{S_{4I}}{S_{4II}}$	0,667
	$K1 = 1 - H^2$	0,555
	$K2 = 1 + H^2 \sqrt{H}$	1,363
	$G_4 = 1 + H^4 + 2H^2 + 2H\sqrt{H} + 2H^2/H$	3,9
	$\Delta T_4 = (T_s)_{4I} - (T_s)_{4II}$ _____, $^\circ\text{C}$	20
	$\sigma_4^* = E \alpha_T \Delta T_4$ _____, МПа	70
	$M1 = -1,816 \sigma_4^* K1 / G_4$	-18,09
	$Q1 = \frac{\sigma_4^* K2}{G_4}$	24,46

Продолжение табл.3

Расчетные величины и формулы			
<u>Температурные напряжения в цилиндрической оболочке I</u>			
$\sigma_{SH} = M_1$, МПа	-18	
$\sigma_{\theta H} = 2Q_1 - 0.25M_1$, МПа	64	
$\sigma_{SB} = -M_1$, МПа	18	
$\sigma_{\theta B} = 2Q_1 - 0.85M_1$, МПа	64	
<u>Температурные напряжения в цилиндрической оболочке II</u>			
$\sigma_{SH} = H^2 M_1$, МПа	-8	
$\sigma_{\theta H} = 2H\sqrt{H} Q_1 - 0.25H^2 M_1$, МПа	30	
$\sigma_{SB} = -H^2 M_1$, МПа	8	
$\sigma_{\theta B} = 2H\sqrt{H} Q_1 - 0.85H^2 M_1$, МПа	37	
Узел II (см. рис.6)			
<u>Узел сопряжения цилиндрической оболочки со сферической (см.рис.2)</u>			
<u>Исходные данные</u>			
См. п. I.4	Материал	12Х18Н10Т	
	E	, МПа	$1,97 \cdot 10^5$
См. рис. 2	α_T	, $1/^\circ\text{C}$	$1,77 \cdot 10^{-5}$
	S_4	, мм	20
	$S_{сф}$, мм	30
	r_4	, мм	100
	$r_{сф}$, мм	150

Продолжение табл.3

Расчетные величины и формулы			
См. п.3.3.	$(T_s)_y$, °C	100
	$(T_s)_{ср}$, °C	80
<u>Вспомогательные величины</u>			
$H = \frac{S_y}{S_{ср}}$			0,555
$K_1 = 1 - H^2$			0,691
$K_2 = 1 + H^2 \sqrt{H} \sqrt{\frac{z_{ср}}{z_y}}$			1,667
$G_{ср} = 1 + H^4 + 2H^2 + 2H \sqrt{H} \sqrt{\frac{z_y}{z_{ср}}} + 2H^2 \sqrt{H} \sqrt{\frac{z_{ср}}{z_y}}$			3,6
$\Delta T_{ср} = (T_s)_y - (T_s)_{ср}$, °C	20
$\sigma_{ср}^* = E \alpha_t \Delta T_{ср}$, МПа	70
$M_1 = -1,816 \frac{\sigma_{ср}^* K_1}{G_{ср}}$			-24,4
$Q_1 = \frac{\sigma_{ср}^* K_2}{G_{ср}}$			32,41
<u>Температурные напряжения в цилиндрической оболочке</u>			
$\sigma_{SH} = M_1$, МПа	-24
$\sigma_{SB} = -\sigma_{SH}$, МПа	71
$\sigma_{OH} = 2Q_1 - 0,25 M_1$, МПа	24
$\sigma_{OB} = 2Q_1 - 0,85 M_1$, МПа	85
<u>Температурные напряжения в сферической оболочке</u>			
$\sigma_{SH} = H^2 M_1$, МПа	-11
$\sigma_{SB} = -\sigma_{SH}$, МПа	38
$\sigma_{OH} = 2H \sqrt{H} Q_1 - 0,25 H^2 M_1$, МПа	11
$\sigma_{OB} = 2H^2 \sqrt{H} Q_1 - 0,85 H^2 M_1$, МПа	44

Продолжение табл.3

Расчетные величины и формулы			
Узел I (см.рис.6)			
<u>Узел сопряжения цилиндрической оболочки с кольцом (Рис.3)</u>			
<u>Исходные данные</u>			
См. п. 1.4.	Материал	12Х18Н10Т	
	E	, МПа	$1,97 \cdot 10^5$
См. рис.3	α_T	, $1/^\circ\text{C}$	$1,77 \cdot 10^{-5}$
	S_y	, мм	20
	S_k	, мм	50
	z_H	, мм	140
	z_B	, мм	90
	z_y	, мм	100
См. п.3.3.	$(T_s)_y$, $^\circ\text{C}$	100
	$(T_s)_k$, $^\circ\text{C}$	60
<u>Вспомогательные величины</u>			
$R = \frac{z_B}{z_H}$		0,643	
$H = \frac{S_y}{S_k}$		0,4	
$X_k = \frac{(1+R)}{2(1-R)}$		2,3	
$W_k = X_k H^2$		0,368	

Продолжение табл.3

Расчетные величины и формулы		
$G_K = 0.91 + W_K^2 +$		
$+ W_K \left(\frac{2.832}{H} \sqrt{\frac{S_4}{Z_4}} + 3.304 + 2.57 H \sqrt{\frac{Z_4}{S_4}} \right)$		4,272
$\Delta T_K = (T_3)_4 - (T_3)_K$, °C	40
$\sigma_K^* = E \alpha \Delta T_K$, МПа	140
$M_K = \frac{S_4^2}{6} \frac{\sigma_K^* (3W_K - 1.652)}{G_K}$, МПа мм	-1197
$Q_K = \frac{S_4 \sigma_K^*}{G_K} (0.708 \sqrt{\frac{S_4}{Z_4}} + W_K H)$, МПа мм	304
$\sigma_M = \frac{6M_K}{S_4^2}$, МПа	-18
$\sigma_q = \frac{2.57 Q_K \sqrt{Z_4}}{S_4 \sqrt{S_4}}$, МПа	87
<u>Температурные напряжения в цилиндрической оболочке</u>		
$\sigma_{SH} = \sigma_M$, МПа	-18
$\sigma_{SB} = -\sigma_{SH}$, МПа	92
$\sigma_{OH} = \sigma_q - 0.25 \sigma_M$, МПа	18
$\sigma_{OB} = \sigma_q - 0.85 \sigma_M$, МПа	102
<u>Температурные напряжения в кольце</u>		
$\sigma_0 = \frac{(L-R)}{R} \chi_K^2 \left(\frac{Q_K}{S_K} + \frac{6M_K}{S_K^2} \right)$, МПа	9,4
Узел IY (см. рис.6)		
<u>Узел сопряжения цилиндрической оболочки с пластиной (см. рис.4)</u>		
<u>Исходные данные</u>		
См. п.1.4. Материал		I2X18NiOT

Продолжение табл.

Расчетные величины и формулы			
См. п.1.4.	E	, МПа	$1,97 \cdot 10^5$
	α_T	, $1/^\circ\text{C}$	$1,77 \cdot 10^{-5}$
См. рис. 4	S_4	, мм	20
	Z_4	, мм	100
	S_{rn}	, мм	20
	Z_H	, мм	140
	Z_B	, мм	90
	Z_{rn}	, мм	90
См. п.3.3.	$(T_3)_4$, $^\circ\text{C}$	100
	$(T_3)_{rn}$, $^\circ\text{C}$	80
<u>Вспомогательные величины</u>			
$R = \frac{Z_B}{Z_H}$			0,643
$H = \frac{S_4}{S_{rn}}$			1,0
$X_{rn} = \frac{1,3 + 0,7R^2}{(1-R^2)}$			0,932
$W_{rn} = X_{rn} H^2$			0,932
$G_{rn} = 0,91 + W_{rn}^2 +$ $+ W_{rn} \left(\frac{0,708 \sqrt{S_4}}{H \sqrt{Z_4}} + 2,57 H \sqrt{\frac{Z_4}{S_4}} \right)$			7,42
$\Delta T_{rn} = (T_3)_4 - (T_3)_{rn}$, $^\circ\text{C}$	20
$\sigma_{rn}^* = E \alpha_T \Delta T_{rn}$, МПа	70
$M_{rn} = -1,652 \frac{\sigma_{rn}^* S_4^2}{G_{rn} \cdot 6}$, МПа мм ²	-1039
$Q_{rn} = \frac{\sigma_{rn}^* S_4}{G_{rn}} \left(0,708 \sqrt{\frac{S_4}{Z_4}} + W_{rn} H \right)$, МПа мм	235
$\sigma_M = \frac{6 M_{rn}}{S_4^2}$, МПа	-16

Продолжение табл.3

Расчетные величины и формулы		
$\sigma_q = \frac{2.57 Q_{\text{пл}} \sqrt{s_4}}{S_4 \sqrt{S_4}}$, МПа	68
<u>Температурные напряжения в цилиндрической оболочке</u>		
$\sigma_{SH} = \sigma_M$, МПа	-16
$\sigma_{SB} = -\sigma_{SH}$, МПа	72
$\sigma_{OH} = \sigma_q - 0.25 \sigma_M$, МПа	16
$\sigma_{OB} = \sigma_q - 0.85 \sigma_M$, МПа	82
<u>Температурные напряжения в пластине</u>		
$\sigma_z = \frac{Q_{\text{пл}}}{S_{\text{пл}}} + \frac{6M_{\text{пл}}}{S_{\text{пл}}^2}$, МПа	3,8
$\sigma_0 = -\frac{(L+R^2)}{(L-R^2)} \left(\frac{Q_{\text{пл}}}{S_{\text{пл}}} + \frac{6M_{\text{пл}}}{S_{\text{пл}}^2} \right)$, МПа	9,2

Упрощенный расчет температурных напряжений
в модельном узле корпуса для предельных
тепловых режимов

Таблица 4

Расчетные величины и формулы		
<u>Упрощенный расчет температурных напряжений при квазистационарных режимах</u>		
<u>Исходные данные</u>		
См. п. 1.4	Материал	Г2Х18Н10Т
	E , МПа	$1,95 \cdot 10^5$
	α_T , $1/^\circ\text{C}$	$1,74 \cdot 10^{-5}$
	ν	0,3
4.4.1.2	a , $\text{мм}^2/\text{сек}$	4,7
См. рис. 1	S_{4I} , мм	20
	S_{4II} , мм	30
См. п. 4.4.1	T_0 , $^\circ\text{C}$	20
	T_{cp} , $^\circ\text{C}$	300
	ZF , $^\circ\text{C}/\text{сек}$	0,084
<u>Предельное число Фурье</u>		
$ Fo_{*} = \frac{a (T_{cp} - T_0)}{\nu F S^2}$		39
Условие $Fo_{*} \gg 3$ (выполнено, не выполнено)		выполнено
<u>Температурные напряжения</u>		
$ \sigma_v = \frac{\nu F S^2 E \alpha_T}{3a (1-\nu)}$, МПа		11,6

Продолжение табл.4

Расчетные величины и формулы		
См. П. 4.4.5.1	$\sigma_{усл.}$, МПа	9,4
	Условие $\sigma_v < \sigma_{усл}$ (выполнено, не выполнено)	выполнено
<u>Температурные напряжения вдали от зоны сопряжения</u>		
	$\sigma_{SH} = \sigma_{OH} = 0,5 \sigma_v$, МПа	5,6
	$\sigma_{SB} = \sigma_{OB} = -\sigma_v$, МПа	-11,6
<u>Вспомогательные величины</u>		
	$H = \frac{S_{4I}}{S_{4II}}$	0,667
См. П. 4.4.5.1	f_{SH}	0,13
	f_{SB}	-0,13
	f_{OH}	0,3
	f_{OB}	0,36
<u>Температурные напряжения в зоне сопряжения</u>		
	$\sigma_{SH} = 0,5 \sigma_v + 2,1 \sigma_v f_{SH}$, МПа	8,4
	$\sigma_{OH} = \sigma_v (0,5 + 2,1 f_{OH})$, МПа	13,1
	$\sigma_{SB} = \sigma_v (-1 + 2,1 f_{SB})$, МПа	-14,8
	$\sigma_{OB} = \sigma_v (-1 + 2,1 f_{OB})$, МПа	-2,8
<u>Упрощенный расчет температурных напряжений при термоударах</u>		
	$\sigma_{SH} = \sigma_{OH} = \frac{0,112}{(1-\nu)} E \alpha_T (T_p - T_0)$, МПа	152
	$\sigma_{SB} = \sigma_{OB} = -\frac{0,887}{(1-\nu)} E \alpha_T (T_p - T_0)$, МПа	-1204

Литература

1. Отчеты п/я А-7899, 1987-88 гг. по исследованию температурных напряжений в осесимметричных элементах корпусов трубопроводной арматуры.
2. "Нормы расчета на прочность оборудования и трубопроводов атомных энергетических установок", ПИИ АЭ Г-7-002-86.
3. Основы термоупругости. А.Д.Коваленко - Киев, Наукова Думка, 1976 г., с.307.
4. Прочность, устойчивость, колебания: Справочник. том I, под редакцией И.А.Биргера и Л.Г.Пановко. -М., Машиностроение, 1968 г., с.831.
5. *Klečka . Nestacionárni teplotní pole a napjatost ve strojních částech. - SNTa, Praha, 1973.*
6. Физические свойства сталей и сплавов, применяемых в энергетике. Справочник под ред. Б.Е. Неймарк. -М.-Л., Энергия 1967.

изме- нения	[Номер листа замене- го	ново- го	анну- лиро- ван- ного	Номер доку- мента	Под- пись	Дата внесения измене- ния	Дата введения изменения